

## تحضير وتشخيص عدد من معقدات الفلزات مع ليكاندات قواعد شيف المشتقة من Co(II), Ni(II), Cu(II), Zn(II), Cd(II) مع احماض امينية جديدة وتقييم فعاليتها البكتيرية

م.د. كواكب عبد العزيز محمد

أ.م.د. ثناء يعقوب يوسف

قسم الكيمياء  
كلية العلوم / جامعة الموصل

تاريخ تسليم البحث: ٢٠١٤/٢/١٠ ..... تاريخ قبول النشر: ٢٠١٤/٥/٨

### ملخص البحث:

يتضمن البحث تحضير عدد من المعقدات الجديدة لبعض العناصر الانتقالية مثل  
Co(II)، Ni(II)، Cu(II) وبعض العناصر غير الانتقالية Zn(II)، Cd(II) مع عدد من قواعد  
شيف الناتجة من التفاعل التكتيفي بين الحامض الاميني ايسوليوسين وفنيل الانين والانين مع  
٣-اسيتايل اندول. وقد درست هذه المعقدات وشخصت من خلال التحليل الدقيق للعناصر (M)  
والتوصيلية المولارية الكهربائية والحساسية المغناطيسية وطيف الأشعة تحت الحمراء والطيف  
الالكتروني، وصنفت هذه المعقدات الى:

١-معقدات ذوات الصيغ  $[ML(CH_3COO)(H_2O)_2]$ .

٢-معقدات ذوات الصيغ  $[ML(CH_3COO)]H_2O$ .

$Cd(II), Zn(II), Cu(II), Ni(II), Co(II) = M$

$L = 3$ -اسيتايل اندول ايسوليوسين ايمين،  $3$ -اسيتايل اندول فنيل الانين ايمين و  $3$ -اسيتايل اندول  
الانين ايمين.

أشارت القياسات الفيزيائية الى امتلاك المعقدات المحضرة ترتيباً رباعياً التناسق (رباعي  
السطوح) وسداسي التناسق (ثمانى السطوح) كما أن المعقدات المحضرة غير الكتروليتية.

## Preparation and characterization of Some Complexes of Metal Ions With Schiff Bases Ligands Derived from Co(II),Ni(II),Cu(II),Zn(II) and Cd(II) with New Amino Acid and Evaluation of Their Bacteria Activities

Asst. Prof. Dr. Thana Y. Yousif      Lect. Dr. Kawakib A. Mohammed  
Department of Chemistry  
College of Science / Mosul University

### Abstract:

A new complexes of some transition metal ions (Co(II),Ni(II),Cu(II)) and non transition metal ions (Zn(II),Cd(II)) with a number of Schiff bases obtained from the condensation of some amino acids isoleucine, phenylalanine and alanine with (3-acetyl Indol) have been prepared. All the prepared complexes have been characterized by elemental analysis(M), molar conductance, magnetic susceptibility infrared and electronic spectral. The complexes were classified as:

1-Complexes with the formulas  $[ML(CH_3COO)(H_2O)_2]$ .

2- Complexes with the formulas  $[ML(CH_3COO)]H_2O$ .

M= Co(II),Ni(II),Cu(II),Zn(II)Cd(II).

L= 3-acetyl Indol isoleucine imine, 3-acetyl Indol phenylalanine imine and 3-acetyl Indol alanine imine.

The physical measurements showed that the prepared complexes have a tetra coordinated (tetrahedral) and hexa-coordinated (octahedral) structure and that all the prepared complexes were non electrolyte.

### المقدمة Introduction

تحتل قواعد شيف موقعا مهما كليكاندات لكيمياء العناصر الانتقالية خلال الاعوام الماضية<sup>(٣-١)</sup>، وهذا يعود الى تحضيرها السهل وتطبيقاتها المتعددة<sup>(٤)</sup>، حيث لوحظ فعاليتها البايولوجية بوصفها مضادات للفطريات والبكتريا<sup>(٥)</sup> وتمتلك قواعد شيف ومعداتها خواصاً تجعلها تعمل بوصفها مضادات للالتهابات والحساسية ومسكنة للالم ومضادة للاكسدة<sup>(٦-٧)</sup>.

تلعب الأحماض الامينية ومركباتها مع ايونات العناصر المختلفة دورا مهما في مجالات العلوم الحياتية والصيدلانية والصناعية<sup>(٨-١١)</sup>. المعقدات المعدنية للأحماض الامينية لتكوين قواعد شيف لها تأثير ضد السرطان<sup>(١٢)</sup> وضد الاحياء المجهرية<sup>(١٣)</sup> وتستعمل مركبات قواعد شيف كمنظمات لنمو النباتات ولاسيما الحنطة والشعير<sup>(١٤-١٥)</sup> حيث تستخدم كمبيد للحشرات والفطريات التي تتعرض لها النباتات<sup>(١٦)</sup>. ان عملية التكتيف بين مجموعة الامين في الأحماض الامينية

ومجموعة الكاربونيل في الالديهيدات والكيوتونات صعبة الحصول بسبب تأثير ايون زويتر، وان محاولة الحصول على معقدات قواعد شيف لفلزات ثنائية التكافؤ وبطريقة التحضير الموضعي، لم تنجح عند استخدام كلوريدات الفلزات، لان الدالة الحامضية (pH) كانت منخفضة (١,٨ - ٤,٠) ولكن عند استخدام خلات الفلزات ارتفعت الدالة الحامضية الى ما بين (٥ - ٦,٦) <sup>(١٧)</sup>.

استطاع الباحث (Sharma) وجماعته <sup>(١٨)</sup> من تحضير عدداً من معقدات النيكل (II) مع قواعد شيف المشتقة من تكثيف ٢-هيدروكسي ١-نفثالديهيد مع الأحماض الامينية (الانين وايسوليوسين) وبعد تشخيص المعقدات وجد ان الليكاند ثلاثي السن ثنائي الشحنة السالبة (ONO) ويمتلك بنية ثماني السطوح .

كما حضر (Wechhuysen) وجماعته <sup>(١٩)</sup> عدد من معقدات النحاس (II) والاحماض الامينية (كلايسين، هستيديين، الانين، سيرين، تايروسين وسستين) وقد وجد بان التناسق بين ايون النحاس والاحماض الامينية من خلال ذرة نايتروجين الامين واوكسجين الكربوكسيل. في هذا البحث تم تحضير قواعد شيف جديدة من تفاعل تكثيفي بين ٣- اسيتايل اندول والاحماض الامينية (ايسوليوسين ، فليل الانين ، الانين) ودراسة معقداتها مع Co(II), Ni(II), Cu(II), Zn(II), Cd(II) .

## الجزء العملي The experimental part

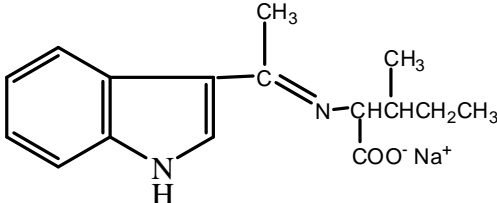
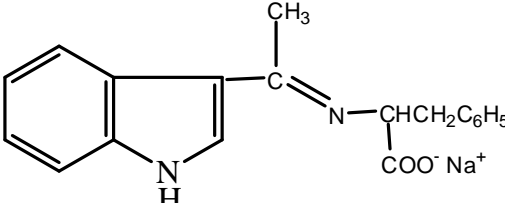
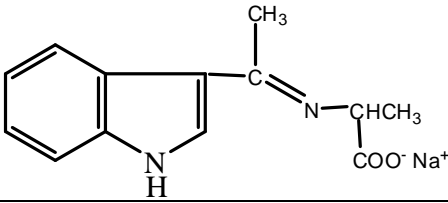
### ١- تحضير أملاح قواعد شيف Preparation of Schiff bases salts

#### ١-١- صوديوم ٣-اسيتايل اندول ايسوليوسين ايمين

#### Sodium 3-acetyl indol isoleucine imine

تمزج نسب متساوية من الحامض الاميني ايسوليوسين (0.01 مول ، 1.31 غم) مع ٣-اسيتايل اندول (0.01 مول ، 1.59 غم) في (٢٠ سم<sup>٣</sup>) من ٥٠% ايثانول بوجود خلات الصوديوم (0.01 مول ، 0.82 غم) ويصعد المزيج عند درجة حرارة (٥٠م) ولمدة (٢٠) دقيقة ثم يبرد وتقاس الدالة الحامضية (الجدول ٢) ثم يبخر المحلول الى ربع حجمه الأصلي ويضاف الايثانول بكمية (١٠ سم<sup>٣</sup>) لحين ملاحظة تكون راسب ويترك الى اليوم التالي لإتمام عملية الترسيب، يرشح الراسب ويغسل عدة مرات بكميات قليلة من الايثانول (٥ سم<sup>٣</sup>) في كل مرة ويجفف تحت الضغط المخلخل، وبالطريقة نفسها أعلاه ، يتم تحضير الليكاند الثاني صوديوم ٣- اسيتايل اندول فليل الانين ايمين (0.01 مول، ١,٦٥ غم) والليكاند الثالث صوديوم ٣-اسيتايل اندول الانين ايمين (0.01 مول، ٠,٨٩ غم) المدرجة في الجدول رقم (١).

الجدول (١): أسماء وتراكيب ومختصرات لاملاح قواعد شيف.

المركبات	الصيغة التركيبية	رمز الليكاند
Sodium 3-acetyl indol isoleucine imine		NaL <sub>1</sub>
Sodium 3-acetyl indol phenylalanine imine		NaL <sub>2</sub>
Sodium 3-acetyl indol alanine imine		NaL <sub>3</sub>

## ٢- تحضير المعقدات Preparation of complexes

### ١.٢ تحضير المعقد رقم (١)

#### Acetat 3-acetyl indol isoleucine iminodiaqua cobalt (II)



تمزج نسب متساوية من الاحماض الامينية بتركيز (0.01 مول) (ايسوليوسين 1.31 غم) ، فنيل الانين (1.65 غم)، الانين (٠,٨٩ غم) مع ٣-اسيتايل اندول (0.01 مول ، ١,٥٩ غم) في (٢٠ سم<sup>٣</sup>) من ٥٠% ايثانول وبوجود خلاص الكوبلت المائية بتركيز (0.01 مول) ( 2.49 غم)  $\text{Co}(\text{CH}_3\text{COO})_2 \cdot 4(\text{H}_2\text{O})$  ، يصعد المزيج عند درجة حرارة (٥٠م) ولمدة ساعتين ، ثم يبرد المزيج لدرجة حرارة المختبر وتقاس الدالة الحامضية ويختر المحلول إلى ربع حجمه الأصلي ويضاف الايثانول بكمية (٢٠ سم<sup>٣</sup>) ويترك حتى اليوم التالي للحصول على الناتج بشكل راسب وردي غامق، يرشح ويغسل الراسب بالايثانول ثم بالايثر الكحولي ويجفف تحت الضغط المخفف، وباستخدام الطريقة الواردة أعلاه يتم تحضير بقية المعقدات الجدول (٢).

أجريت مقارنة المركبات الناتجة من هذه الطريقة مع المركبات الناتجة باستخدام طريقة ثانية وذلك بمفاعلة كلوريدات الفلزات المائية مع أملاح الليكاندات المحضرة ولبعض المعقدات وكما يلي:

يذاب (0.01 مول ، ٢,٩٤ غم) من قاعدة شيف ( $\text{NaL}_1$ ) بأقل كمية ممكنة من الايثانول الساخن ويضاف اليها (0.02 مول، 1.64 غم) من خلات الصوديوم، ثم يضاف بشكل قطرات متتابعة مع الرج (0.01 مول ، 2.38 غم) من محلول كلوريد الكوبلت المائي ( $\text{CoCl}_2 \cdot 6\text{H}_2\text{O}$ ) مذاباً أيضاً بأقل كمية ممكنة من الايثانول، يصعد المزيج عند درجة حرارة (٥٠ م°) لمدة (١٥) دقيقة ، ثم يترك ليبرد ، اذ يتكون راسب وردي، يفصل الراسب بالترشيح ويغسل عدة مرات بالايثانول ويجفف تحت الضغط المخلخل . لقد استخدمت الطريقة الثانية هذه لتحضير معقدين بمعدل معقد من كل مجموعة، وكانت النتيجة دائماً الحصول على المعقد المحضر نفسه بالطريقة الأولى.

الجدول (2): الصيغة الوضعية والنسب المئوية للنواتج مع بعض الخواص الفيزيائية لأملاح الليكنيدات والمعقدات المحضرة.

رقم المركب	الصيغة الوضعية للمركب	اللون	درجة الانصهار	pH	سبة المئوية للناتج	النسبة المئوية للناتج/ (العملي) النظري	التوصيلية الكهربائية المولارية سم. 2. أوم. 1. مول. 1
NaL <sub>1</sub>	C <sub>16</sub> H <sub>19</sub> O <sub>2</sub> N <sub>2</sub> Na	أبيض	264-266	7.6	85.1	---	---
NaL <sub>2</sub>	C <sub>19</sub> H <sub>17</sub> O <sub>2</sub> N <sub>2</sub> Na	أبيض	270-272	7.3	79.8	---	---
NaL <sub>3</sub>	C <sub>13</sub> H <sub>13</sub> O <sub>2</sub> N <sub>2</sub> Na	أبيض	254-256	7.4	81.6	---	---
1	[Co (L <sub>1</sub> )(CH <sub>3</sub> COO) (H <sub>2</sub> O) <sub>2</sub> ]	وردي	188-190	4.81	87.7	13.86(12.88)	5.86
2	[Ni(L <sub>1</sub> )(CH <sub>3</sub> COO)].H <sub>2</sub> O	أزرق	196-198	4.87	72.4	14.43(13.98)	9.34
3	[Cu(L <sub>1</sub> ) (CH <sub>3</sub> COO). (H <sub>2</sub> O) <sub>2</sub> ]	أزرق	186-188	4.62	81.3	14.79(15.15)	6.17
4	[Zn(L <sub>1</sub> )(CH <sub>3</sub> COO) (H <sub>2</sub> O) <sub>2</sub> ]	أبيض مصفر	180-182	5.11	71.5	15.15(14.33)	4.48
5	[Cd(L <sub>1</sub> )(CH <sub>3</sub> COO) (H <sub>2</sub> O) <sub>2</sub> ]	أبيض	176-178	5.31	73.9	-----	6.18
6	[Co (L <sub>2</sub> )(CH <sub>3</sub> COO) (H <sub>2</sub> O) <sub>2</sub> ]	وردي	290-292	4.68	74.2	12.84(11.48)	25.4
7	[Ni(L <sub>2</sub> )(CH <sub>3</sub> COO)].H <sub>2</sub> O	أزرق غامق	288*	4.73	69.8	13.32(14.18)	15.47
8	[Cu(L <sub>2</sub> ) (CH <sub>3</sub> COO). (H <sub>2</sub> O) <sub>2</sub> ]	أزرق غامق	316*	4.51	77.5	13.70(13.85)	6.26
9	[Zn(L <sub>2</sub> )(CH <sub>3</sub> COO) (H <sub>2</sub> O) <sub>2</sub> ]	أبيض	306-308	5.22	80.8	14.05(14.52)	8.77
10	[Cd(L <sub>2</sub> )(CH <sub>3</sub> COO) (H <sub>2</sub> O) <sub>2</sub> ]	أبيض	248-250	4.73	73.1	-----	11.03
11	[Co (L <sub>3</sub> )(CH <sub>3</sub> COO) (H <sub>2</sub> O) <sub>2</sub> ]	وردي	236-238	4.28	75.3	15.38(15.66)	6.54
12	[Ni(L <sub>3</sub> )(CH <sub>3</sub> COO)].H <sub>2</sub> O	أزرق	298*	4.61	76.4	16.09(16.93)	12.83
13	[Cu(L <sub>3</sub> ) (CH <sub>3</sub> COO). (H <sub>2</sub> O) <sub>2</sub> ]	أزرق	234*	4.73	82.4	16.39(16.18)	11.73
14	[Zn(L <sub>3</sub> )(CH <sub>3</sub> COO) (H <sub>2</sub> O) <sub>2</sub> ]	أبيض	292*	5.23	70.3	16.79(17.15)	5.01
15	[Cd(L <sub>3</sub> )(CH <sub>3</sub> COO) (H <sub>2</sub> O) <sub>2</sub> ]	أبيض	194-196	4.52	75.8	-----	4.55

\* = درجة تفكك المركب

## ٢-٢ تحليل المعقدات Analysis of complexes

استخدمت في عملية تحليل المعقدات الطريقة التسحيحية<sup>(٢٠)</sup> لتقدير كل من النيكل (II) والنحاس (II) والخاصين (II) باستخدام محلول قياسي من EDTA والدليل المناسب له وكذلك استخدمت الطريقة الطيفية لتقدير الكوبلت (II)<sup>(٢١)</sup> باستخدام جهاز UV-visible Spectrophotometer Shimadzu UV-1650PC.

## القياسات الفيزيائية Physical measurements

قيست التوصيلية الكهربائية المولارية للمعقدات المحضرة باستخدام جهاز قياس التوصيلية conductivity PCM3(Jenway)، تم القياس عند تركيز ( $10^{-3}$  مولاري) بعد السماح للمحلول ان يكون في حالة اتزان حراري وبدرجة حرارة ( $25^{\circ}\text{C}$ ) وباستخدام داي مثيل فورماميد DMF كمذيب، فضلا عن ذلك قيست الحساسية المغناطيسية للمعقدات المحضرة عند درجة حرارة ( $25^{\circ}\text{C}$ ) باستخدام طريقة فراداي (Faraday Method)، وباستخدام جهاز من نوع (Brucker BM6).

قيست الاطياف الالكترونية للمعقدات المحضرة عند درجة حرارة الغرفة وباستخدام مذيبي داي مثيل فورماميد DMF ضمن المدى ( $9100-50000\text{cm}^{-1}$ ) باستخدام جهاز Shimadzu U.V.-Vis Recording U.V.-1650 Spectrophotometer.

كما تم تسجيل أطياف الأشعة تحت الحمراء للمعقدات المحضرة، فضلا عن أطياف الليكاندات، اذ عملت على شكل اقراص بمادة KBr وباستخدام جهاز Perkin Elmer 580 Infrared spectrophotometer ضمن المنطقة المحصورة ما بين ( $4000-400$ )  $\text{cm}^{-1}$  بدلالة العدد الموجي وقياس درجة الانصهار والتفكك تم بجهاز Electrothermal 9300 Engineering LTD Apparatus وتم تقدير الكوبلت طيفياً باستخدام جهاز UV-visible Spectrophotometer Shimadzu UV-1650PC.

## اختبار الفعالية البايولوجية Biological activity test

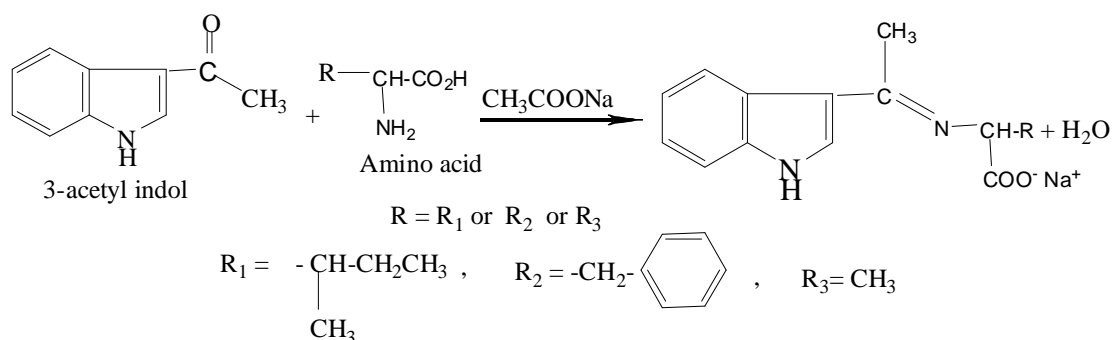
اختبار الفعالية التثييطية للمواد الكيمائية المحضرة ضد بكتريا *E. coli* السالبة لصبغة الكرام وبكتريا *Staphylococcus aureus* الموجبة لصبغة الكرام.

اختبرت الفعالية التثييطية للمواد والمضادات الحيوية Amoxicillin و Erythromycin للمقارنة على نمو البكتريا باستخدام اختبار الحساسية (طريقة الانتشار بالأقراص) وبالاعتماد على طريقة Bauer وجماعته<sup>(٢٢)</sup> حيث حضر المعلق البكتيري في وسط المرق المغذي الاعتيادي (Nutrient agar) وبتركيز  $10^8$  خلية /سم<sup>3</sup> وذلك بالمقارنة مع انبوبة السيطرة القياسي رقم ١ ن

بنقل ٠,١ سم<sup>٣</sup> من المعلق البكتيري ولقح باستخدام مساحة قطنية معقمة على وسط أكار مولير هنتون ثم حضنت الاطباق بدرجة حرارة ٣٧ م° لمدة ٣٠ دقيقة لكي يحصل التسرب . بعد ذلك وضعت اقراص من ورق الترشيح (Whatman No.1) بقطر ٦ ملم مشبعة بالتراكيز المختلفة من المواد الكيميائية المحضرة في البحث ، ثم ثبتت الاقراص بواسطة ملقط معقم على سطح الاطباق الملقحة بالجراثيم وحضنت بدرجة حرارة ٣٧ م° لمدة ٢٤ ساعة وبعد انتهاء فترة التحضين تم قياس اقطار التنشيط حول الاقراص وسجلت النتائج، ولبيان حساسية المركبات المدروسة استخدمت طريقة (Prescott) وجماعته<sup>(٢٣)</sup> والتي تعتمد على قطر التنشيط .

## النتائج والمناقشة Results and Discussion

حضرت ليكاندات قواعد شيف من تفاعل ٣- اسيتايل اندول مع الأحماض الامينية (ايسوليوسين وفنيل الانين والانين) وبوجود خلات الصوديوم كما في المعادلة الآتية:



اما معقدات قواعد شيف فقد تم تحضيرها من تفاعل ٣- اسيتايل اندول مع الأحماض الامينية السابقة الذكر وبوجود خلات (Co(II) ، Ni(II) ، Cu(II) ، Zn(II) ، Cd(II)) وبطريقة التحضير الموضعي ، اذ ظهرت لدينا ان المعقدات ثابتة في درجة حرارة الغرفة، ملونة، تذوب في الماء ولها القابلية على الذوبان في مذيب داي مثيل فورماميد DMF ومذيب داي مثيل سلفوكسايد DMSO ولكنها لا تذوب في الايثر.

تم تحليل المعقدات بطريقة تسحيحية لتقدير كل من (Zn(II) ، Cu(II) ، Ni(II) ، اما Co(II) فقد تم تقديره بطريقة طيفية وقد تطابقت لدينا النسبة المئوية للفلز عملياً مع التركيب البنائي نظرياً. اما الخواص الفيزيائية للمعقدات والاطياف الالكترونية واطياف الاشعة تحت الحمراء ونتائج الفعالية البايولوجية موضحة في الجداول (٢، ٣، ٤، ٥) على التوالي.



## قياس طيف الأشعة تحت الحمراء Measuring the infrared spectrum

نلاحظ في بحثنا هذا ظهور التردد الامتطاطي لمجموعة الازوميثان لليكاندات في المنطقة (١٦٢٥-١٦٣١ سم<sup>-1</sup>) وعند ارتباطها مع الفلز تراح إلى ترددات اوطأ (١٥٩٣-١٦٢٢ سم<sup>-1</sup>) مما يشير إلى تناسق مجموعة الازوميثان مع الايونات الفلزية<sup>(٢٧-٢٤)</sup>. كما لوحظ التردد الامتطاطي لمجموعة (NH) في طيف الليكاندات عند (٢٩٦٢-٢٩٦٤ سم<sup>-1</sup>) وعند تكوين المعقدات ظهرت حزمة (NH) في الموقع نفسه تقريباً، مما يدل على عدم حدوث تناسق بين ذرة نايتروجين لمجموعة (NH) مع الفلزات وهذا متفق مع ما أشير إليه في البحث<sup>(٢٨، ٢٩)</sup>، جدول رقم (٤، ٥).

أما حزمة الامتطاط التماثلية (COO<sup>-</sup>) في الليكاندات المحضرة ظهرت عند (١٣٥٠-١٣٦١ سم<sup>-1</sup>) وحزمة الامتطاط اللاتماثلية عند (١٥٧٩-١٥٩١ سم<sup>-1</sup>) وعند الارتباط مع ايونات الفلزات أزيحت حزمة الامتطاط التماثلي إلى تردد أعلى (١٣٨٣-١٤١٧ سم<sup>-1</sup>) بينما أزيحت حزمة الامتطاط اللاتماثلي في هذه المعقدات إلى منطقة أوطأ<sup>(٣٠، ٣١)</sup> (١٥٥٨-١٥٨٧ سم<sup>-1</sup>)، ويعد الفرق في قيم ترددات الامتطاط التماثلي واللاتماثلي لـ U(COO<sup>-</sup>) مشخصاً لسلوك مجموعة الكربونيل بقيمة  $\Delta U$  لايون الكربوكسيل المرتبط بشكل احادي السن مساوي لـ (١٥٠-١٨٠ سم<sup>-1</sup>) وبشكل ثنائي السن مساوية لاقل من ١٢٠ سم<sup>-1</sup> ومن قيمة  $\Delta U$  المبينة في الجدول (٥) (١٥٣-١٧٦ سم<sup>-1</sup>) يتضح ان ايون الكربوكسيل يرتبط بشكل احادي السن دائماً بعد فقدان البروتون. يظهر التردد الامتطاطي لمجموعة الخلايا المتماثلة وغير المتماثلة لايون الخلايا الحر في المنطقتين (١٤١٠-١٥٢٥ سم<sup>-1</sup>) على التوالي وعند التناسق مع الذرة الفلزية تراح حزمة المجموعة الاولى عند (١٣٦٣-١٤٩١ سم<sup>-1</sup>) بينما تراح الثانية الى تردد أعلى عند (١٥٢٢-١٥٧٧ سم<sup>-1</sup>)، وفيما يتعلق بمعقداتنا لوحظ ان الخلايا ترتبط بشكل ثنائي السن، ان مواقع الحزم المذكورة أعلاه متفقة مع ما ذكره Nakamoto<sup>(32)</sup>.

اوضح الباحثان (Nakagawa and Shimanouchi)<sup>(33)</sup> ان مواقع التأرجح Rocking والتمايل Wagging للمعقدات المائية تظهر بحدود (٦٥٠-٨٨٠ سم<sup>-1</sup>) و (٤٥٠-٦٥٠ سم<sup>-1</sup>) على التوالي. كذلك اوضح بعض الباحثين<sup>(٣٤، ٣٥)</sup> ان وجود ماء التبلور يشخص بظهور حزمة عريضة وضعيفة تشمل المدى (٣٢٠٠-٣٦٠٠ سم<sup>-1</sup>) وعند وجود ماء تناسق اضافة لماء تبلور، فان ماء التناسق يعطي حزمة قوية عند المنطقة (٣١٥٥-٣٢٩٦ سم<sup>-1</sup>) المطبوعة على الحزمة العريضة انفة الذكر، والجدول (٥) يظهر تفاصيل ونوع جزيئات الماء الموجودة في المعقدات، حيث يلاحظ وجود حزمة عريضة وضعيفة في غالبية المعقدات بينما يتميز القسم الاخر بوجود حزمة حادة وقوية في المنطقة (٣١٥٥-٣٢٩٦ سم<sup>-1</sup>) وتمثل (H<sub>2</sub>O)  $\nu$  اضافة الى حزمة أخرى ضعيفة عند (٨٥٦-٨٩٩ سم<sup>-1</sup>) وتمثل R(H<sub>2</sub>O).

لوحظ ظهور حزمة جديدة للأواصر (M - N) و (M - O) في المنطقة الواقعة بين (٤١١-٤٣٦ سم<sup>-١</sup>)، (٤٥٧-٥١٨ سم<sup>-١</sup>) على التوالي من طيف المعقدات المحضرة، ولوحظ هذا التردد في منطقة التردد الواطئ من طيف الأشعة تحت الحمراء<sup>(٣٧،٣٦)</sup> حيث يؤكد ارتباط أيونات الفلزات مع قواعد شيف عن طريق ذرة نيتروجين الحامض الاميني والاكسجين، كما يلاحظ ذلك في الجداول (٤، ٥).

### القياسات المغناطيسية والاطياف الالكترونية

#### Magnetic measurements and electronic spectra

تم قياس الاطياف الالكترونية لليكاندات والمعقدات المحضرة ضمن المدى (١٩٠nm - ١١٠٠) وباستخدام مذيب الـ DMF وبتركيز  $10^{-3} M$ ، وقد اظهرت الليكاندات حزماً رئيسية ناتجة عن الانتقال الالكتروني  $\pi-\pi^*$  (٤٠٨٩٠-٤٦٧٢٨ سم<sup>-١</sup>) وحزمة اخرى تعزى الى الانتقال  $n-\pi^*$  في المدى (٣١٦٤٥ - ٣٤٢٤٦ سم<sup>-١</sup>) اُزيحت هذه الحزم في اطياف المعقدات المحضرة نحو ترددات أوطأ أو أعلى، مما يدل على حدوث تناسق بين الليكاند والايون الفلزي . واطهرت اطياف جميع المعقدات حزماً اخرى تقع ضمن المديات (٣١٨٤٣-٣٤٤٨٢ سم<sup>-١</sup>) وتعود هذه الحزم الى اطياف انتقال الشحنة Charge transfer .

#### معقدات الكوبلت (II) :

أظهرت معقدات الكوبلت (II) احادية النوى رقم (٦،١،١١) قيماً للعزوم المغناطيسية (4.94-5.01 B.M) وهذه القيم تتفق بشكل عام مع معقدات الكوبلت ثمانية السطوح<sup>(38-40)</sup> عالية البرم والزيادة الملاحظة في قيم العزوم المغناطيسية يعتقد بأنها تعود لوجود المساهمة الاوربيتالية لمعقدات الكوبلت (II) ثمانية السطوح عالية البرم<sup>(٤١،٤٢)</sup>، انظر الجدول (3). الطيف الالكتروني لهذه المعقدات يبين ثلاثة حزم عند (١٩١٢٩-٢١٧٥٠ سم<sup>-١</sup>) وحزمة أخرى عند (٩٤١٦-٩٧٢٧ سم<sup>-١</sup>) والأولى ممكن أن تعود الى  $(\nu_3) \quad 4T_1g(P) \rightarrow 4T_1g(F)$  والثانية تعود الى  $(\nu_1) \quad 4T_1g(F) \rightarrow 4T_2g(F)$  في شكل ثنائي السطوح حول الكوبلت (II)<sup>(43-45)</sup>. اما تردد  $(\nu_2)$  فيظهر في المدى (١١٥٢٠ - ١٣١٥٧ سم<sup>-١</sup>) تعود الى الانتقال  $(\nu_2) \quad 4T_1g(F) \rightarrow 4A_2g(F)$  وتكون حزمة  $(\nu_2)$  ضعيفة نسبياً بالمقارنة مع  $(\nu_1)$  و  $(\nu_3)$  وذلك لكونها تتضمن انتقال الكترونين من الحالة المستقرة  $eg^2 t_2g^5$  الى الحالة المثارة  $eg^4 t_2g^3$ <sup>(٤٦)</sup>.

#### معقدات النيكل (II)

تكون القيمة العملية لمعقدات النيكل (II)<sup>(٤٧،٤٨)</sup> رباعي السطوح (3.0-4.0 B.M) ، اذ ان هذه القيمة تميل الى الارتفاع الى (3.5-4.0 B.M) عندما يكون الشكل رباعي السطوح منتظماً

وتميل هذه القيمة الى الانخفاض عندما يكون الشكل رباعي السطوح مشوه (3.5-3.0 B.M). حيث أعطت معقدات النيكل (II) أحادية النوى رقم (٢، ٧، ١٢) قيماً للعزوم المغناطيسية تراوحت بين (3.88 - 3.99 BM) وهذه القيم تتفق بشكل عام مع معقدات النيكل رباعي السطوح<sup>(٤٩، ٥٠)</sup>. الطيف الالكتروني لهذه المعقدات يبين حزمتي في المنطقة (٩١٧٤-٩٨٠٣ سم<sup>-١</sup>) و (١٠٨٩٣-١١٦٢٧ سم<sup>-١</sup>) وهذه تعود الى  $\nu_2$   $^3A_2(F) \rightarrow ^3T_1(F)$  و  $\nu_3$   $^3T_1(P) \rightarrow ^3T_1(F)$  في ترتيب رباعي السطوح حول النيكل (II)<sup>(٤٦، ٤٩، ٥١)</sup>، أما حزمة  $\nu_1$  فأنها لا تظهر لأنها خارج مدى الجهاز (الجدول رقم ٣).

## معقدات النحاس (II)

ان معقدات النحاس (II) تظهر عزوما مغناطيسيا تتراوح بين (١,٧BM-٢,٢)<sup>(٥٢)</sup> فتكون بارامغناطيسيا لوجود الكترون واحد كما هو متوقع لايون النحاس(II)<sup>(٥٣)</sup>. اشارت البحوث الى امتلاك معقدات النحاس (II) ثمانية السطوح عزوما مغناطيسية بحدود (١,٩٠ BM-٢,٠٧)<sup>(٥٤)</sup> اذ اعطت معقدات النحاس(II) المحضرة رقم (٨,٣، ١٣) قيماً للعزوم المغناطيسية تراوحت بين (1.82 - 2.04 BM) والتي تمتلك ترتيباً ثماني السطوح المشوه<sup>(٤١)</sup>.

اظهرت نتائج الطيف الالكتروني لمعقدات النحاس (II) حزمة عريضة في المدى (١٣٠٨٩-١٦٠٧٧ سم<sup>-١</sup>) ناتجة عن تجمع انتقاليين او ثلاثة انتقالات من انتقالات  $^2B_1g \rightarrow ^2A_1g$  و  $^2B_1g \rightarrow ^2B_2g$  و  $^2B_1g \rightarrow ^2Eg$  في حزمة واحدة تمثل بالانتقال  $^2Eg \rightarrow ^2T_2g$  وهذا يشير الى امتلاك ايونات النحاس (II) شكل ثماني السطوح المشوه<sup>(٥٥-٥٨)</sup> (الجدول رقم ٣).

## معقدات الخارصين(II) والكادميوم (II)

لا تعطي معقدات الخارصين (II) والكادميوم (II) حزم امتصاص في المنطقة المرئية من الطيف وذلك لعدم حصول انتقالات الكترونية في اوربيتالات d المشبعة بالالكترونات، وقد تم قياس الاطياف الالكترونية لمعقدات الخارصين(II) والكادميوم (II) وقد اعطت حزم امتصاص بحدود (٣١٨٤٣-٣٤٤٨٢ سم<sup>-١</sup>) وهذه الامتصاصات على الارجح تمثل اطياف نقل الشحنة<sup>(٥٩)</sup> وفي حالات قليلة قد تعزى الى حزم الليكاند، اذ ان انتقالات الليكاند قد تزاح الى اطوال موجية أوطأ او أعلى من اطياف المعقدات مشيرة الى تكوين المعقدات<sup>(60-63)</sup>، ومن هذا يمكن استنتاج ان معقدات الخارصين (II) والكادميوم(II) المحضرة تتخذ شكل ثماني السطوح جدول رقم ٣).

### التوصيلية الكهربائية المولارية Molarities Electrical conductivity:

قيست التوصيلية الكهربائية المولارية عند تركيز ( $10^{-3}$  مولاري) في محلول داي ميثايل فورمايد بعد السماح للمحلول أن يكون في حالة اتزان حراري عند درجة حرارة ( $25^{\circ}\text{C}$ ) وظهر أن المعقدات المحضرة جميعها غير موصلة (مركبات متعادلة) إذ تراوحت قيم التوصيلية الكهربائية لها ما بين ( $4,48 - 25,4$  سم<sup>2</sup>.أوم<sup>-1</sup>.مول<sup>-1</sup>) جدول رقم (٢).

الجدول (3): الأطياف الالكترونية (سم<sup>1</sup>) والقياسات المغناطيسية للمعقدات.

رقم المعقد	الصيغة	الاطياف الالكترونية	$\mu_{eff}$ (B.M)	الهيئة
NaL <sub>1</sub>	C <sub>16</sub> H <sub>19</sub> O <sub>2</sub> N <sub>2</sub> Na	34246, 46728	---	--
NaL <sub>2</sub>	C <sub>19</sub> H <sub>17</sub> O <sub>2</sub> N <sub>2</sub> Na	34013, 45169	---	--
NaL <sub>3</sub>	C <sub>13</sub> H <sub>13</sub> O <sub>2</sub> N <sub>2</sub> Na	31645, 40890	---	--
١	[Co (L <sub>1</sub> )(CH <sub>3</sub> COO) (H <sub>2</sub> O) <sub>2</sub> ]	9433, 11520, 21750, 32051	4.94	Oh
٢	[Ni(L <sub>1</sub> )(CH <sub>3</sub> COO)].H <sub>2</sub> O	9803, 10917, 32894	3.99	Td
٣	[Cu(L <sub>1</sub> ) (CH <sub>3</sub> COO).(H <sub>2</sub> O) <sub>2</sub> ]	16077, 31847	1.93	Oh
٤	[Zn(L <sub>1</sub> )(CH <sub>3</sub> COO) (H <sub>2</sub> O) <sub>2</sub> ]	32051	---	Oh
٥	[Cd(L <sub>1</sub> )(CH <sub>3</sub> COO) (H <sub>2</sub> O) <sub>2</sub> ]	31843	---	Oh
٦	[Co (L <sub>2</sub> )(CH <sub>3</sub> COO) (H <sub>2</sub> O) <sub>2</sub> ]	9727, 11627, 19129, 34482	5.01	Oh
٧	[Ni(L <sub>2</sub> )(CH <sub>3</sub> COO)].H <sub>2</sub> O	9746, 10893, 34246	3.95	Td
٨	[Cu(L <sub>2</sub> ) (CH <sub>3</sub> COO).(H <sub>2</sub> O) <sub>2</sub> ]	13089, 33112	1.82	Oh
٩	[Zn(L <sub>2</sub> )(CH <sub>3</sub> COO) (H <sub>2</sub> O) <sub>2</sub> ]	33783	---	Oh
١٠	[Cd(L <sub>2</sub> )(CH <sub>3</sub> COO) (H <sub>2</sub> O) <sub>2</sub> ]	33557	---	Oh
11	[Co (L <sub>3</sub> )(CH <sub>3</sub> COO) (H <sub>2</sub> O) <sub>2</sub> ]	9416, 13157, 21008, 33112	4.99	Oh
12	[Ni(L <sub>3</sub> )(CH <sub>3</sub> COO)].H <sub>2</sub> O	9174, 11627, 34482	3.88	Td
13	[Cu(L <sub>3</sub> ) (CH <sub>3</sub> COO).(H <sub>2</sub> O) <sub>2</sub> ]	14577, 33557	2.04	Oh
14	[Zn(L <sub>3</sub> )(CH <sub>3</sub> COO) (H <sub>2</sub> O) <sub>2</sub> ]	33112	---	Oh
15	[Cd(L <sub>3</sub> )(CH <sub>3</sub> COO) (H <sub>2</sub> O) <sub>2</sub> ]	34482	---	Oh

Oh = octahedral , Td= tetrahedral

الجدول (4): أطياف الأشعة تحت الحمراء لليكاندات ( $\text{cm}^{-1}$ ).

رقم الليكاند	$\nu(\text{C}=\text{N})$	$\nu(\text{COO})_{\text{sym}}$	$\nu(\text{COO})_{\text{asy}}$	$\nu(\text{NH})$
L <sub>1</sub>	16٣١ <sub>(m)</sub>	1350 <sub>(s)</sub>	1579 <sub>(s)</sub> W	2964
L <sub>2</sub>	1629 <sub>(m)</sub>	1356 <sub>(s)</sub>	1591 <sub>(s)</sub>	2964
L <sub>3</sub>	162٥ <sub>(w)</sub>	1361 <sub>(s)</sub>	1588 <sub>(s)</sub>	2962

m = متوسطة القوة (medium)، s = قوية (strong)، w = ضعيفة (weak).

الجدول (5): أطيف الأشعة تحت الحمراء (سم-1) للمعقدات.

رقم المعقد	$\nu$ (C=N)	$\nu$ (COO) sym	$\nu$ (COO) asy	$\Delta\nu$	$\nu$ (M-N)	$\nu$ (M-O)	$\nu$ H <sub>2</sub> O	Rocking(H <sub>2</sub> O) r(H <sub>2</sub> O)	Wagging(H <sub>2</sub> O) w(H <sub>2</sub> O)
1	1615 <sub>(w)</sub>	1398 <sub>(m)</sub>	1568 <sub>(w)</sub>	170	436 <sub>(m)</sub>	513 <sub>(s)</sub>	3155 <sub>(s)</sub>	883 <sub>(m)</sub>	577 <sub>(m)</sub>
2	1612 <sub>(s)</sub>	1385 <sub>(m)</sub>	1563 <sub>(w)</sub>	178	424 <sub>(s)</sub>	513 <sub>(s)</sub>	3157-3357 <sub>(s)</sub>	---	559 <sub>(m)</sub>
3	1618 <sub>(w)</sub>	1383 <sub>(m)</sub>	1560 <sub>(w)</sub>	177	422 <sub>(m)</sub>	513 <sub>(m)</sub>	3155 <sub>(m)</sub>	877 <sub>(m)</sub>	559 <sub>(m)</sub>
4	1812 <sub>(s)</sub>	1387 <sub>(m)</sub>	1563 <sub>(m)</sub>	176	418 <sub>(m)</sub>	518 <sub>(m)</sub>	3167 <sub>(s)</sub>	877 <sub>(m)</sub>	567 <sub>(m)</sub>
5	1614 <sub>(s)</sub>	1392 <sub>(w)</sub>	1569 <sub>(m)</sub>	177	424 <sub>(s)</sub>	513 <sub>(m)</sub>	3157 <sub>(m)</sub>	899 <sub>(m)</sub>	559 <sub>(m)</sub>
6	1619 <sub>(w)</sub>	1412 <sub>(w)</sub>	1587 <sub>(m)</sub>	175	418 <sub>(w)</sub>	472 <sub>(m)</sub>	3284 <sub>(m)</sub>	965 <sub>(w)</sub>	552 <sub>(m)</sub>
7	1593 <sub>(w)</sub>	1404 <sub>(w)</sub>	1561 <sub>(m)</sub>	157	420 <sub>(w)</sub>	480 <sub>(m)</sub>	3028-3356 <sub>(s)</sub>	---	548 <sub>(m)</sub>
8	1622 <sub>(m)</sub>	1396 <sub>(s)</sub>	1570 <sub>(m)</sub>	174	420 <sub>(m)</sub>	469 <sub>(m)</sub>	3249 <sub>(m)</sub>	882 <sub>(w)</sub>	557 <sub>(m)</sub>
9	1616 <sub>(m)</sub>	1408 <sub>(w)</sub>	1573 <sub>(w)</sub>	165	418 <sub>(m)</sub>	483 <sub>(m)</sub>	3255 <sub>(m)</sub>	874 <sub>(m)</sub>	569 <sub>(m)</sub>
10	1619 <sub>(w)</sub>	1402 <sub>(w)</sub>	1570 <sub>(m)</sub>	168	418 <sub>(w)</sub>	471 <sub>(m)</sub>	3261 <sub>(m)</sub>	891 <sub>(w)</sub>	548 <sub>(m)</sub>
11	1618 <sub>(w)</sub>	1404 <sub>(m)</sub>	1580 <sub>(w)</sub>	176	430 <sub>(m)</sub>	484 <sub>(s)</sub>	3259 <sub>(m)</sub>	856 <sub>(m)</sub>	538 <sub>(m)</sub>
12	1595 <sub>(m)</sub>	1385 <sub>(s)</sub>	1558 <sub>(m)</sub>	173	412 <sub>(s)</sub>	457 <sub>(s)</sub>	3161-3365 <sub>(s)</sub>	---	544 <sub>(m)</sub>
13	1622 <sub>(s)</sub>	1398 <sub>(s)</sub>	1574 <sub>(m)</sub>	176	411 <sub>(m)</sub>	486 <sub>(s)</sub>	3240 <sub>(m)</sub>	856 <sub>(s)</sub>	575 <sub>(m)</sub>
14	1614 <sub>(m)</sub>	1410 <sub>(s)</sub>	1569 <sub>(w)</sub>	159	415 <sub>(m)</sub>	484 <sub>(s)</sub>	3276 <sub>(m)</sub>	856 <sub>(s)</sub>	561 <sub>(m)</sub>
15	1621 <sub>(w)</sub>	1417 <sub>(s)</sub>	1576 <sub>(m)</sub>	159	412 <sub>(m)</sub>	472 <sub>(m)</sub>	3284 <sub>(m)</sub>	860 <sub>(s)</sub>	559 <sub>(m)</sub>

(rocking) حزمة التارجح = r

(wagging) حزمة التمايل = w

(very weak) حزمة ضعيفة جدا = vw

(strong) قوية = s

(medium) متوسطة القوة = m

(weak) ضعيفة = w

## نتائج الفعالية البيولوجية Biological activity results

تشير النتائج الموضحة في الجدول (٦) الى ان هناك اختلافات في نوعية التأثيرات للمركبات المدروسة على البكتيريا المدروسة لصبغة كرام الموجبة وصبغة كرام السالبة، فعلى سبيل المثال لوضح ان للمعدتات (٤ و ٥ و ١٣ و ١٥) تأثيراً على بكتريا *E. coli* السالبة لصبغة كرام ، اما المعدتات (٥ و ١٥) على التوالي فأظهرت تأثيراً على بكتريا *Straphylococcus aureus* الموجبة لصبغة كرام، ان ذلك قد يعود الى التأثير التنشيطي لمكونات المعدتات المحضرة وماتحويه من نوع الايون اللاعضوي المتناسق في المعدت تجاه النمو البكتيري، وكذلك قد تعود عملية التنشيط الى قابلية هذه المعدتات المحضرة من الاختراق للجدار الخلوي للبكتريا وبالتالي تحطيمها<sup>(64)</sup>.

الجدول (٦): يوضح الفعالية التثبيطية للمركبات الكيميائية قيد الدراسة ( قطر التثبيط بل مليمترا (ملم)).

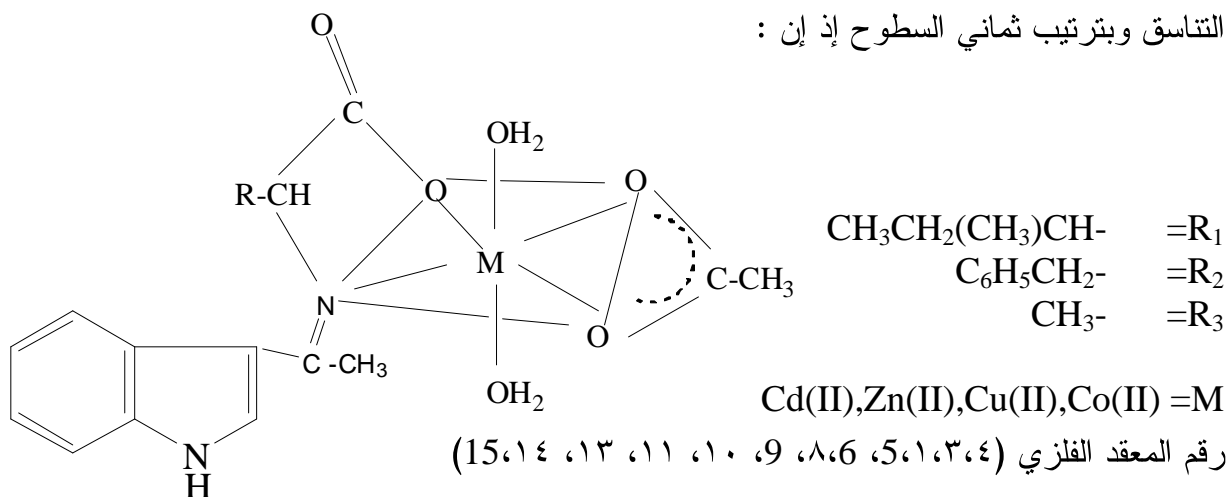
رقم المعدت	بكتريا <i>E. coli</i>	بكتريا <i>Straph. aureus</i>
١	٦	٦
٢	٦	٦
٣	٦	٦
٤	١٥	٦
٥	١٥	١٨
٦	٦	٧
٧	٦	٧
٨	٦	٦
٩	٧	٦
١٠	٧	٩
١١	٦	٦
١٢	٧	٧
١٣	١٢	٩
١٤	٦	٩
١٥	٩	١٥
<b>Amoxicillin</b>	٦	١٠
<b>Erythromycin</b>	٦	٩

## التركييب المتوقعة للمعقدات المحضرة

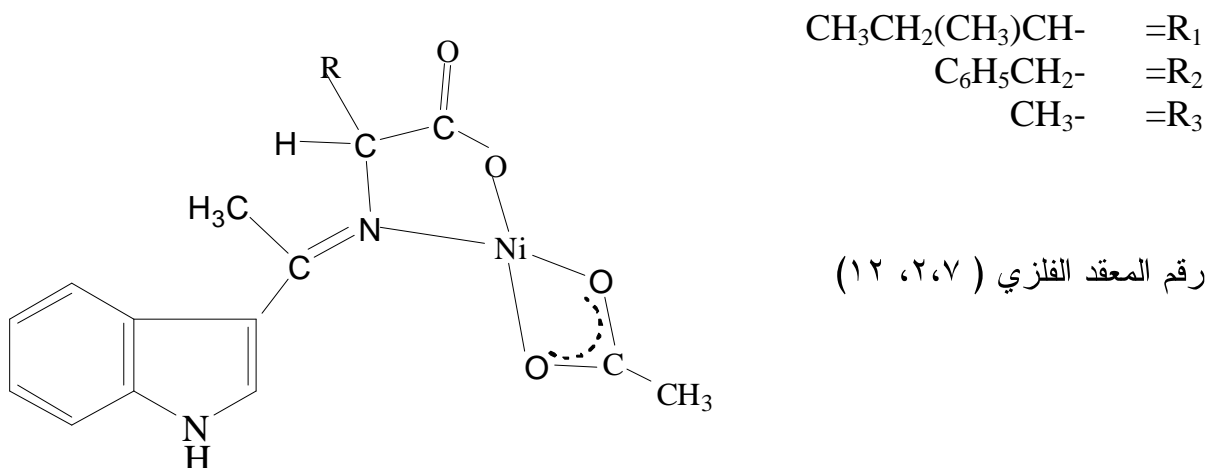
استناداً إلى نتائج القياسات الفيزيائية الواردة آنفا ، يمكن اقتراح تركيب المعقدات المحضرة كالآتي:

١- التركييب المتوقعة لمعقدات من نوع  $[ML(CH_3COO)(H_2O)_2]$  اذ يرجح ترتيباً سداسي

التناسق وبترتيب ثماني السطوح إذ إن :



٢- معقدات من نوع  $[NiL(CH_3COO)]H_2O$  اذ يرجح ترتيب رباعي السطوح.



من هذه الدراسة نستطيع الاستنتاج ان كل من الليكاندات يمثل ليكاند ثنائي السن من خلال نيتروجين الازوميثان واوكسجين مجموعة الكربوكسيل وبالنتيجة نحصل على اشكال وتركييب المعقدات المقترحة السابقة. حيث ان الكوبلت(II) والنحاس(II) والخاصين (II) والكادميوم (II) تعطي معقدات ثمانية السطوح والنيكل (II) يعطي معقدات رباعي السطوح.

المصادر

- 1-P.G. Devi, S. Pal, R. Banerjee, D. Dasgupta, J. Inorg. Biochem. 101, 127–137 (2007).
- 2- A.N. Wein, R. Cordeiro, N. Owens, H. Olivier, K.I. Hardcastle, J.F. Eichler, J. Fluorine Chem. 130 ,197–203(2009).
- 3- K.S. Abou Melha, J. Enzym. Inhib. Med. Chem. 23, 493–503(2008).
- 4- Yamada, S. Coord. Chem. Rev., 192, 537-557(1999).
- 5- N. Raman, J. D. Raja and A. Sakthivel. J. Chem. Sci., 119,4,303-310(2007).
- 6- L. Hadjipavlu, J. Dimitra, Geronikaki and A. Athina. Drug Des. Discovery,.15, 199-206(1998).
- 7- X, Luo, J, Zhao, Y,Ling and Z. Lin, Chem. Res. Chin. Univ., 18,287-289.(2002).
- 8- M. Nath, S. Pokharia, R. Yadav, Coord. Chem. Rev. 215, 99–149(2001).
- 9-H.L. Singh, M. Sharma, A.K. Varshney, Synth. React. Inorg. Met. Org. Chem. 30, 445–456(2000).
- 10- A.I. El-Said, A.S.A. Zidan, M.S. El-Meligy, A.A.M. Aly, O.F. Mohammed, Synth.React. Inorg. Met. Org. Chem. 30,1373–1392(2000).
- 11- M. Sharma, B. Khungar, S. Varshney, H.L. Singh, U.D. Tripaathi, A.K. Varshney, Phosphorus Sulfur Silicon Related Elem. 147, 239–246 (2001).
- 12- P. Clifford, S. Singh, J. Stjernsward, G. Klein, Cancer Res. 27, 2578–2615 (1967).
- 13- Z.H. Chohan, M. Praveen, A. Ghaffar, Metal-Based Drugs 4, 267–272 (1997).
- 14- Lu. Bing, Xi , Li Shu-Xian, Ye-Wen-Fa and Wang Yan-gang, Hum. Huagong, 30, 42-43(2000).
- 15- Y. Wang, B. Lu, X. Yu, W. Ye and S. Wang. Chem. J. Internet, 3(2001).
- 16- L. Zhu, N. Chen, H. Li, F. Song and X. Zhu. Huazhong Shifen Daxue Xuebao Ziranxueban, 37, (2003) 499-509.
- 17- N. A. Nawar, A.M. Shallaby, N.M. Hosney and M.M. Mostafa.. Transition Metal Chem. , 26,180 (2001).
- 18- P. Sharma, K. Ppraveen, Dubey and N. Surendra. Proc. India Acad. Sci. Chem. Sci. , 106,1, 23-27(1994).
- 19- B. M. Weckhuysen, A. Averburchmoes, L. Fu and R.A. Schooneydt, J. Phys. Chem., 100, 9456(1996)..
- 20- A.I. Vogel, . "Vogel's Textbook of Quantitative Analysis" 5th ed., Longman Scientific, England, pp.326-331, 349(1989).
- 21- Z. Marczenko and M. Balcerzak.. " Separation, Preconcentration and Spectrophotometry in Inorganic Analysis" , Elsevier, p. 168(2000).
- 22- A., Bauer, Kirbay, W.A. M., J. S. Sherris and M. Turk.. Am. J. Clin. Pathol. 45, 493-496(1966).



- 23- L.M., Prescott, J.P. Harley and D.A., Klein.. " Microbiology " 3 rd ed., Wm.C. Brown, Publisher, London, pp. 436-450(1996).
- 24- A. K., Narula, B. Singh, and R.N. Kappor. J. Indian Chem. Soc. 59 ,1296(1982).
- 25- M. Bakir, O. Green, W.H. Mulder, J. Mol. Struct, 873, 17-28(2008).
- 26- S. Prasad, and R. K. Agrawal. Res. Lett. Inorg. Chem. , 4(2008).
- 27- A. Syamal, M.R. Maurya,. Indian J. Chem., 24, 837-841(1985).
- 28- K. Dey, S. Ray, P.K. Bhattacharyya, A. Gangopadh, K. K. Bhasin and R.D. Verma, J. Indian Chem. Soc.62, 809(1985).
- 29- H. Keypour, S. Salehzadeh and R.V. Parish. Molecules, 7, 140(2002).
- 30-R.C.Das,M.K.Mishra and S.K.Mohanty , J.Indian Chem.Soc., 57, 667(1980).
- 31- M. A. Affan, I.P.P. Foo B.A. Fasihuddin, M. A. Hapipab and M. Shamsuddin. Indain J. Chem. , 48A, 1388-1393(2009).
- 32-K.Nakamoto."Infrared and Raman Spectra of Inorganic and Coordination compounds" 5th Ed.,Wiley-Inter Science Publication, New York,part B ,42(1997).
- 33- I. Nakagawa and T. Shimanouchi, Spectro. Chim. Acta. 20,42<sup>9</sup>(1964).
- 34- T.A. Kabanos and J.M.Tsangaris,. J.Coord.Chem.,13.89(1984).
- 35- K. Dey and, K. Chakraborty. Indian J. Chem. , 39, 1140(2000).
- 36- K. M. Ibrahim, M. M. Bekheit, G.M. Abu El Reah and M.M. Mostafa. Polyhedron, 5, 163 S(1986).
- 37- O. Pioresane and C. Furlani. J. Inorg. Nucl. Chem., 30, 1249-1256(1968).
- 38-K.Thompson,N.Bridson and A. Lqurence,. Inorg.Chem.,33 ,54(1994).
- 39- N. R. Kumar, M. Nethiji and K. C. Patil,. Polyhedron, 10,365-371(1991).
- 40- T. H. Mahmood,. J. Edu. Sci., 39, 29-36(1999).
- 41- O.S.M. Nasman, Synth, React. Inorg. Met. Org. Chem., 31(8), 1433, (2001).
- 42- S. Chandr and K. Gupta, Trans. Met. Chem. 27, 196, (2002).
- 43- J. Kohout, M. Hvastijova, J. Kozisek, J. G. Diaz, M. Valko, L. Jager and I. Svoboda,. Inorg. Chim. Acta , 287, 186-192(1999).
- 44- N. Mondal, D. K. Dey, S. Mitra and K.M. Abdul Malik,. Polyhedron, 19, 2707-2711(2000).
- 45- S. Chandra, M. Tyagi and M. S. Refat. J. Seb. Chem. Soc., 74, 907(2009).
- 46- D. Nicholls,. "The chemistry of iron , cobalt and nickel". 1st ed., Pergamon Press Oxford, pp. 1155(1973).
- 47-I.A.Mustafa and B. Kh. AL-Asa'ady.. National.J.Chem.,13 ,65-72(2004).
- 48- R. K. Verma, B. K. Mishra, K. C. Satplaty and A. Mahapatra, Asian J. Chem., 9, 365, (1997).
- 49- R. M. Patil,. Acta. Polon. Pham, 64, 345(2007).
- 50- A. Freag, S.O. Yildirim, M. Akkurt, M. U. Ozgur and F. W. Heinemann,. Chin Chem. Letters, 17, 243(2006).

- 51- D. K. Dwired, R. K. Shakla and B.K. Sbukla,. Asian J. Chem., 2, 286(1990).
- 52- V. S. Shrivastava, C.P.Bhasin and G.C. Saxena, J. Indian Chem. Soc., 63, 865(1986).
- 53- A.C.Massey and B.F. Johnson."The Chemistry of Copper , Sliver and Gold" Pergamon Press, oxford, (1975).
- 54- G. G. Mohamed, M.M.Omer, A.M. Hindy, Turk. J. Chem., 30,361, (2006).
- 55- N. Raman, A. Selvan and P. Manisankar, Spectrochimica Acta PartA, 161, (2010).
- 56- M. S. Ray, R. Bhattacharya, S. Chaudhuri, L. Righi, G. Bocelli, G. Mukhopadhyay and A. Ghosh. Polyhedron, 22, 617, (2003).
- 57- M.A. Zayed, F.A.Nour El-Dien, G.G.Mohamed and N.E.A. El Gamal. Spectrochim. Acta Part A, 60, 2843, (2004).
- 58- B. P. Lever, "Inorganic Electronic Spectra", Elsevier, NewYork, (1984).
- 59- H. Temel, U. Cakir, H. I. Vgras and M. Sekerci, J. Coord. Chem., 56, 943, (2003).
- 60- S. M. Rahuma, S.O.Rohaiaz, M. A.Hapipah and B. W. Jefery,. Siminar Penyelidikan Jangka Pendek, 1(2003).
- 61- L. M.M. Al-Mahrouqi,. M.Sc, Thesis, Faculty of Science, Unversity of Malaya Kualalumpur (2009).
- 62- S. A. Shaker, Y. Farina, S. Mohmmod and M. Eskender,. ARPN J. Engin. App. Sci. 4, 9(2009).
- 63- K. Andelkovic, G. Jakovl, M. Zlatovia, J. Howing and R. Tellgren,. J. Serb. Chem. Soc. , 69, 651( 2004).
- 64- K.K. Chaturvedi, M. Goyal,. J. Indain Chem. Soc. 61, 175-176(1984).

This document was created with Win2PDF available at <http://www.daneprairie.com>.  
The unregistered version of Win2PDF is for evaluation or non-commercial use only.